

連続曲線箱桁橋のそりねじり応力の簡易計算法

大阪市立大学工学部 正員 中井 博
大阪市立大学工学部 正員 谷 俊寛

1. まえがき 曲線箱桁橋でいわゆるねじり定数比($K = l/\sqrt{GK/EI_w}$)が30以上の場合、曲げねじりによる垂直接力 Δ_w が曲げによる垂直接力 Δ_b の5%以下であり、曲線箱桁橋は曲げと純ねじりを考慮した曲がりばかり理論で解析しても実用上十分であることが明らかにされている。しかし、長大曲線桁橋においてそりねじり応力のほかに、断面変形による応力を生じることを考えると、最終的にはこちらの応力を照査できら簡易計算法について検討していく必要がある。そこで、本文はその一例として2箱桁曲線橋を対象として、種々な数値計算により集中トルクが作用する点でそりねじり応力が卓越することを確かめ、単純ねじり理論により、それらの応力を容易に算定できることを明らかにするものである。

2. 解析方法 曲線桁橋を全橋断面一体として解析する場合¹⁾は、曲げねじり理論と伝達マトリックス法を用いる。

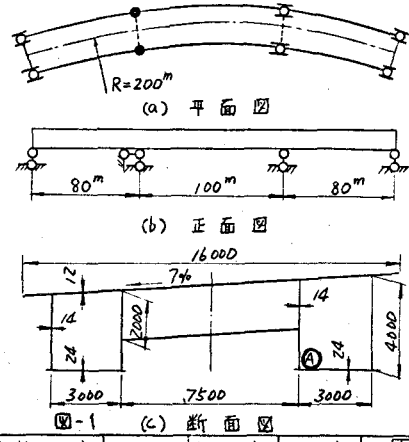
曲線桁橋を格子桁として取扱う場合は、個々の主桁の曲げ剛度と純ねじり剛度のみを考慮して、結合法を用いた伝達マトリックス法で解析を行なう。

3. 数値計算例 曲げねじり理論と格子桁理論により、図-1に示す連続曲線桁橋（実橋をモデル化）を解析し、下フランジとウェップの接合点④²⁾の垂直接力を比較する。表-1には、この曲線桁橋の断面諸定数を示す。

図-2は、種々な荷重状態（TT-43荷重、L荷重）に対して、曲率半径を変化させ2つの理論値を比較したものである。図より、L荷重に対する中間支点に着目した場合、そりねじりによく応力が曲げによる応力の5%以下であることが確認できるが、TT-43荷重の場合は、中心角亀が大きいとき、そりねじり応力が曲げ応力の10%ぐらいにならことも参考され。

4. そりねじり応力の簡易計算法

図-3(a)は図-1の連続曲線桁橋のスパン中央外桁に集中荷重(100t, TT-43荷重想定)を作用させたときの外桁のねじりモーメント図である。図-3(b)は、同じ荷重のもとで、2つの理論値の差をそりによく垂直接力 Δ_w と考え、曲げ応力 Δ_b (格子桁理論)に対する比で表わし、スパン方向



解析方法	断面係数	純ねじり定数	ねじり定数	$K = \frac{GK}{EI_w}$
曲げねじり理論	1.301×10^8	1.014×10^8	39.52×10^{12}	9.95
格子桁 外行	0.762×10^8	0.582×10^8	0.642×10^{12}	59.13
理論 内行	0.529×10^8	0.438×10^8	0.317×10^{12}	73.00

表-1 断面諸定数

断面着目点 図-1(c)の④

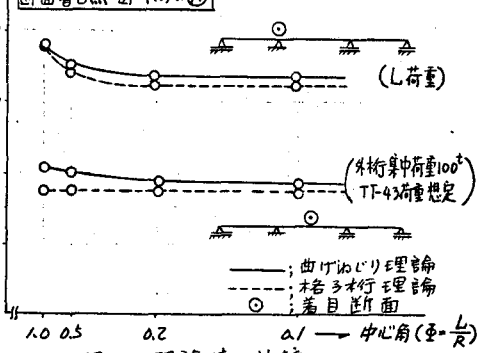


図-2 理論値の比較

の変化として示したものである。こちらの図を比較すると、ねじりモーメントが作用する偏心荷重載荷点、あるいは、中間支点においてよりにより垂直応力が大きくなることがわかる。

そこで、まず簡単のために単純直線桁橋のスパン中央にねじりモーメント M_T (橋軸方向に時計まわりが正) を作用させた場合を考える。この場合の曲げねじりモーメント M_{ω} は、ねじり定数比が大きく ($K \geq 10$) ほどのを考慮すると、以下のように式を变形でき。²⁾

$$M_{\omega} = -\frac{M_T}{2} \cdot \frac{\sinh^2 \alpha \frac{h}{2}}{\sinh \alpha h} \approx -\frac{1}{2\alpha} M_T \quad \cdots (1)$$

そして、ラッピングと下フランジの接合点ごとのより関数 ω をつきのようにおくと、

$$\omega = \lambda \cdot \frac{bh}{4} \quad \cdots (2) \quad b: \text{下フランジ幅} \quad h: \text{ラッピング高さ}$$

A: 断面形状により決めるねじり定数

であり、したがってよりねじり応力 σ_{ω} は次のようになる。

$$\sigma_{\omega} = \frac{M_{\omega}}{I_w} \omega = -\sqrt{\frac{E}{G}} \frac{\lambda b h}{8/K I_w} M_T \approx -\frac{h}{5K} (\lambda b \sqrt{\frac{K}{I_w}}) M_T = -\frac{h}{5K} \gamma M_T \quad \cdots (3)$$

$\gamma = \frac{1}{2}, E = 2.1 \times 10^6 \text{ kg/cm}^2, G = 0.81 \times 10^6 \text{ kg/cm}^2$

ここで、種々な形状をもつ断面について γ を求めると、図-4に示すように γ の上限値は 5 となる。すなと、式(3)は IDR と同じ提案式となる。³⁾

$$\sigma_{\omega}^* = -\frac{h}{K} M_T \quad \cdots (4)$$

上では、集中トルク荷重によるよりねじり応力を求めているが、分布トルク荷重が作用するときもスパン中央においてよりねじり応力が最大となる。しかし、式(4)の数%となるため、式(4)では省略する。

つぎに、曲線桁橋の曲げねじり特性を図-5のパラメーターハンズ曲げ剛性比トリック解析結果に示す。パラメーター γ はねじり曲げ剛性比である。この図より、曲線桁橋の曲げねじり特性は直線桁と比較してほとんどかわらないことがわかる。

そこで、数値計算結果と IDR の提案式が曲線桁橋にも適用できるものとして σ_{ω}^* を求めたものを表-2に示す。ここに、 $\Delta T (\equiv M_T)$ は図-3(a)のねじりモーメントのステップ量である。表より、外桁断面は $\gamma \approx 2$ となるため、提案式によると σ_{ω}^* が計算例 σ_{ω} の 2~3 倍の安全側に出るようにならざるを得ない(内は $\gamma \approx 2$ に対する値)。

5. あとがき 単純ねじり理論によりより垂直応力が計算できれば簡易で、安全側の値を与えらといふことを考えると、IDR の式を曲線桁橋に適用してもよいように思われる。

参考文献: 1) 舉重治、土木学会論文報告集、No.255, 1976 2) 小松鉄、薄肉構造物の理論と計算 I 3) Interium Design and Workmanship Rules, 1973

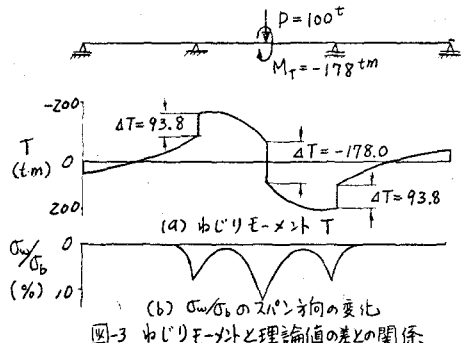


図-3 ねじりモーメントと理論値の差との関係

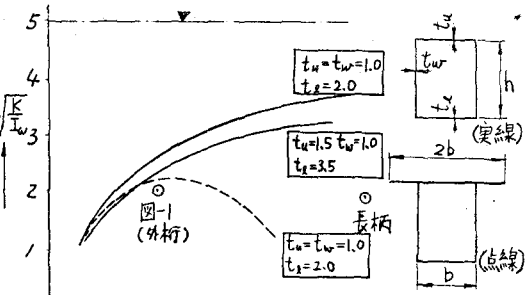


図-4 断面形状と γ 値の関係

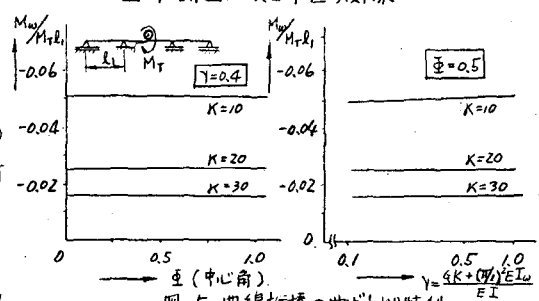


図-5 曲線桁橋の曲げねじり特性

荷重載荷点着目点	曲げねじり理論解	3倍荷理論	σ_{ω}^* (1)	ΔT ($\times 10^3$ N.m)	σ_{ω}^*
			(2)	(3)	
外桁外側	386.9	343.6	43.3	-17.80	(68.1) 119.3
荷重外桁中央	359.9	336.0	23.9	-5.71	(26.9) 30.3
中間経間中央	573.1	577.1	-4.0	0.01	(10.0) -0.1
荷重中間支点	-684.4	-667.5	-16.9	10.74	(-41.1) -72.0

表-2 理論値と提案値との比較